

# Структура молекул: Приклади тетраедрично координованих молекул

Andriy Zhugayevych  
azh@uninet.kiev.ua

4 жовтня 2004 р.

## 1 Підготовчі обчислення

Систему координат виберемо як на рис. 1.

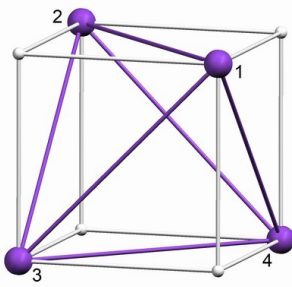


Рис. 1: Тетраедр в кубі

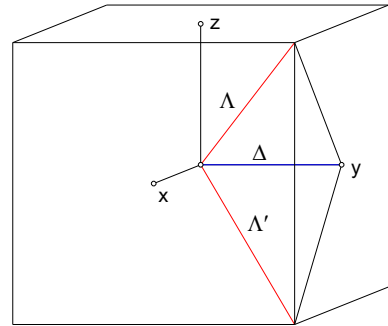


Рис. 2: Орбіти

Представлення групи, розклад представлень групи обертань та симетрія базисних функцій підсумовані в таблиці:

|       | $e$ | $8c_3$ | $3c_2$ | $6c_{4i}$ | $6\sigma_v$ | 0 | 1 | 2 | 3 | 4 | 5 | 6 | 0               | 1                        | 2                              | 3                           |
|-------|-----|--------|--------|-----------|-------------|---|---|---|---|---|---|---|-----------------|--------------------------|--------------------------------|-----------------------------|
| $A_1$ | 1   | 1      | 1      | 1         | 1           | 1 | . | . | 1 | 1 | . | 1 | $S$             |                          |                                |                             |
| $A_2$ | 1   | 1      | 1      | -1        | -1          | . | . | . | . | . | . | 1 |                 |                          |                                |                             |
| $E$   | 2   | -1     | 2      | 0         | 0           | . | . | 1 | . | 1 | 1 | 1 |                 |                          |                                |                             |
| $F_1$ | 3   | 0      | -1     | 1         | -1          | . | . | . | 1 | 1 | 1 | 1 |                 |                          |                                |                             |
| $F_2$ | 3   | 0      | -1     | -1        | 1           | . | 1 | 1 | 1 | 1 | 2 | 2 | $P_x, P_y, P_z$ | $D_{yz}, D_{zx}, D_{xy}$ | $F_{xy^2}, F_{yz^2}, F_{zx^2}$ | $F_{x^3}, F_{y^3}, F_{z^3}$ |

Орбіти (напрямки підвищеної симетрії) зображені на рис. 2 і разом з регулярними представленнями групи  $T_d$  на них та їх стабілізаторами наведені в наступній таблиці:

|  | $e$ | $8c_3$ | $3c_2$ | $6c_{4i}$ | $6\sigma_v$ |                        |          |
|--|-----|--------|--------|-----------|-------------|------------------------|----------|
| $\Lambda, \Lambda'$                              | 4   | 1      | 0      | 0         | 2           | $A_1 + F_2$            | $C_{3v}$ |
| $\Delta$   | 6   | 0      | 2      | 0         | 2           | $A_1 + E + F_2$        | $C_{2v}$ |
| $\Lambda\Lambda', \Lambda\Delta, \Lambda'\Delta$ | 12  | 0      | 0      | 0         | 2           | $A_1 + E + F_1 + 2F_2$ | $C_{1v}$ |

Розклад групи  $T_d$  на незвідні представлення стабілізаторів такий:

|          | $e$   | $c_3$ | $c_2$ | $\sigma_v$ | $\sigma'_v$ |               | $A_1$ | $A_2$ | $E$ | $F_1$ | $F_2$ |
|----------|-------|-------|-------|------------|-------------|---------------|-------|-------|-----|-------|-------|
| $C_{3v}$ | $A_1$ | 1     | 1     |            | 1           | $S; P_z$      | 1     | .     | .   | .     | 1     |
|          | $A_2$ | 1     | 1     |            | -1          | $D_{xy}$      | .     | 1     | .   | 1     | .     |
|          | $E$   | 2     | -1    |            | 0           | $P_x, P_y$    | .     | .     | 1   | 1     | 1     |
| $C_{2v}$ | $A_1$ | 1     |       | 1          | 1           | $S; P_z$      | 1     | .     | 1   | .     | 1     |
|          | $A_2$ | 1     |       | 1          | -1          | $D_{xy}$      | .     | 1     | 1   | 1     | .     |
|          | $B_1$ | 1     |       | -1         | 1           | $P_y$         | .     | .     | .   | 1     | 1     |
|          | $B_2$ | 1     |       | -1         | -1          | $P_x$         | .     | .     | .   | 1     | 1     |
| $C_{1v}$ | $A'$  | 1     |       |            | 1           | $S; P_y, P_z$ | 1     | .     | 1   | 1     | 2     |
|          | $A''$ | 1     |       |            | -1          | $P_x$         | .     | 1     | 1   | 2     | 1     |

Таблиця множення групи має вигляд:

|       | $A_2$ | $E$             | $F_1$                 | $F_2$                 |
|-------|-------|-----------------|-----------------------|-----------------------|
| $A_2$ | $A_1$ | $E$             | $F_2$                 | $F_1$                 |
| $E$   |       | $A_1 + A_2 + E$ | $F_1 + F_2$           | $F_1 + F_2$           |
| $F_1$ |       |                 | $A_1 + E + F_1 + F_2$ | $A_2 + E + F_1 + F_2$ |
| $F_2$ |       |                 |                       | $A_1 + E + F_1 + F_2$ |

## 2 Молекула метану $\text{CH}_4$

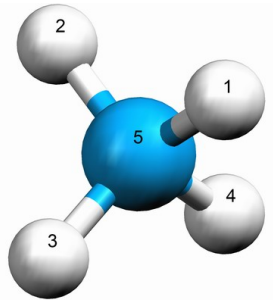


Рис. 3: Молекула метану  $\text{CH}_4$

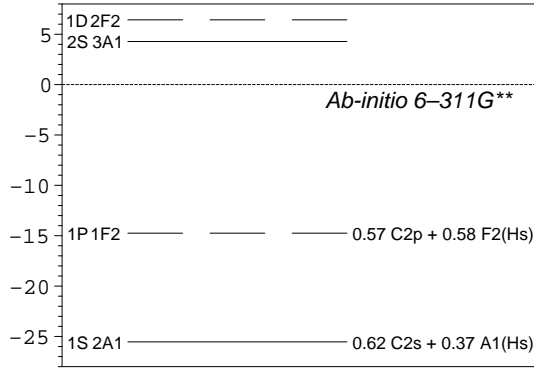


Рис. 4: Молекулярні орбіталі

Координати атомів

|   |   |      |      |      |
|---|---|------|------|------|
| 1 | H | $a$  | $a$  | $a$  |
| 2 | H | $-a$ | $-a$ | $a$  |
| 3 | H | $a$  | $-a$ | $-a$ |
| 4 | H | $-a$ | $a$  | $-a$ |
| 5 | C | 0    | 0    | 0    |

де  $a = r_{\text{CH}}/\sqrt{3}$ ,  $r_{\text{CH}} = 1.10 \text{ \AA}$ , кут  $\text{HCH}$  дорівнює  $\arccos(-1/3)$ . Твірні елементи симетрії:  $4c_3[\text{CH}]$ ,  $6\sigma_v(\text{HCH})$ . Тому група симетрії  $T_d$  (43m). Елементарним фрагментом молекули є пара атомів CH.

### 2.1 Тензори фізичних величин

Мультипольний розклад електричного поля дивимося по розкладу групи обертань. Тотожне представлення  $A_1$  вперше зустрічається для  $l = 0$ , проте оскільки молекула нейтральна, то  $Q^0 = 0$ . Найнижчий ненульовий момент октупольний,  $l = 3$ , в кубічних осіх його тензор має лише одну ненульову компоненту:  $Q_{xyz}$ . Для прикладу, потенціал електростатичного поля молекули метану має вигляд

$$\varphi(\vec{r}) = \sqrt{15}Q_{xyz}\frac{xyz}{r^7}, \quad Q_{xyz} = \sqrt{15} \int xyz\rho(\vec{r})dV = \frac{4\sqrt{5}}{3}r_{\text{CH}}^3e_{\text{H}},$$

де  $\rho$  – густина заряду, а  $e_{\text{H}}$  – ефективний заряд атомів водню.

Нескладно бачити, що розклад представлень  $D_u^l$  такий же як і для  $D_g^l$ , якщо помінти  $A_1$  і  $A_2$  та  $F_1$  і  $F_2$  місцями. Тому формально найнижчий порядок магнітного моменту  $l = 6$ , реально ж це означає, що магнітний момент молекули метану визначається спіном.

Момент інерції перетворюється через представлення  $[V^2] = D^0 + D^2 = A_1 + E + F_2$ , тобто має лише один інваріант (слід матриці). Очевидно, в кубічних осіх він діагональний з однаковими елементами на діагоналі. Таким чином, обертальний спектр молекули метану складається з  $(2J+1)^2$ -кратно вироджених рівнів

$$E_J = \frac{\hbar^2}{2I_{xx}}J(J+1), \quad J \geq 0.$$

## 2.2 Електронна структура

Тип зв'язку полярний парний ковалентний насичений  $C^-sp^3 + H^+s$ .

Шукаємо молекулярні орбіталі в наближенні валентних електронів. Перший спосіб:

|      |           |                                      |
|------|-----------|--------------------------------------|
| $Cs$ | $\Gamma$  | $A_1 = D^0 \times A_1$               |
| $Cp$ | $\Gamma$  | $F_2 = D^1 \times A_1$               |
| $Hs$ | $\Lambda$ | $A_1 + F_2 = D^0 \times (A_1 + F_2)$ |

Отже, маємо дві орбіталі  $A_1$  складу  $Cs + Hs$  і дві трикратно вироджені орбіталі  $F_2$  складу  $Cp + Hp$ , де  $Hs$  і  $Hp$  – базисні функції представлень  $A_1$  і  $F_2$ , побудованих на атомних орбіталях  $Hs$  чотирьох атомів водню (див. наступний розділ, де вони обчислюються явно). З розкладу групи обертань бачимо, що орбіталі  $A_1$  реально можуть відповідати лише рівням з квантовими псевдочислами  $1S$  і  $2S$ , оскільки мінімальне наступне значення псевдоорбітального числа  $L = 3$ . Орбіталі ж  $F_2$  можуть бути якої завгодно симетрії, починаючи з  $L = 1$ . Тому обов'язково буде рівень  $1P$ , наступний же буде типу  $2P$  або  $1D$  або змішаним. Враховуючи, що система має вісім валентних електронів, єдиний можливий спосіб розташування рівнів такий:  $1S A_1, 1P F_2$ . Незайняті рівні будуть розташовані як  $2S A_1, 2P1D F_2$  (чисельний розрахунок вказує на симетрію  $1D$ , зате наступний п'ятий рівень  $2P$  типу).

Другий спосіб: беремо чотири гібридизовані орбіталі  $Csp^3 \pm Hs$ , верхній знак відповідає зв'язуючій орбіталі, нижній – розріхляючій. З точністю до нормування ці орбіталі мають лише один невизначений коефіцієнт пропорції між атомами вуглецю і водню – він близький до  $1 : 1$ , з незначною перевагою для зв'язуючої орбіталі в бік більш електронегативного вуглецю (тому ефективний заряд вуглецю в молекулі метану негативний, чисельний розрахунок дає величину порядку  $-e/2$ ). Гібридизовані орбіталі, очевидно, перетворюються під дією групи  $T_d$  точнісінько як орбіталі  $Hs$ . Тому й розклад на незвідні такий же:  $A_1 + F_2$ . Отже, приходимо до результату, одержаного першим способом, але з більш осмисленим значенням коефіцієнтів. Результат чисельного розрахунку вказаний на рис. 4.

## 2.3 Розщеплення рівнів в електричному полі

З наявних молекулярних орбіталей нас цікавить рівень  $F_2$ . Виберемо вісь  $z$  вздовж напрямку поля (таблиця представлень стабілізаторів побудована саме в такій системі координат). В залежності від напрямку поля одержуємо наступні варіанти розщеплення рівнів. В полі, направленому вздовж осі третього порядку, симетрія понижується до групи  $C_{3v}$ , тоді вниз відщеплюється рівень  $A_1$  цієї групи з хвильовою функцією  $P_z$ , оскільки вона направлена вздовж поля і тому поляризується найбільше (два ж інші рівні залишаються виродженими). В інших випадках виродження знімається повністю. Зокрема, в полі, направленому вздовж осей координат, по вище згаданій причині вниз відщеплюється рівень  $A_1$  групи  $C_{2v}$  також з хвильовою функцією  $P_z$ . Розщеплення двох інших рівнів з хвильовими функціями  $P_x$  і  $P_y$  на  $B_2$  і  $B_1$ , відповідно, дуже незначне, оскільки визначається виключно наведеною асиметрією верхньої і нижньої трійок  $HCH$ . І, нарешті, в полі орієнтованому в площині відбиття найнижчим буде рівень  $A'$  з функцією  $P_z$ . Взаємне ж розташування рівнів  $A'$  і  $A''$ , яким відповідають функції  $P_y$  і  $P_x$ , орієнтовані відповідно в площині відбиття і перпендикулярно до неї, треба знаходити квантовомеханічними розрахунками.

## 2.4 Правила відбору

Для знаходження правил відбору випромінювання і поглинання між наявними рівнями  $A_1$  і  $F_2$  скористаємося таблицею множення представлень.

Для переходів  $A_1 \leftrightarrow A_1$  одержимо  $A_1 \times D^l \times A_1 \equiv D^l \supset A_1$  лише починаючи з  $l = 3$  для електричного моменту і ще вище для магнітного, тому такі переходи практично не будуть спостерігатися.

Переходи  $A_1 \leftrightarrow F_2$  дозволені в електричному дипольному, але заборонені в магнітному дипольному наближеннях, оскільки

$$A_1 \times F_2 = F_2 \equiv D^1, \quad A_1 \times F_2 \equiv F_2 \perp D_u^1 \equiv F_1.$$

Стосовно електричного квадрупольного моменту ненульові матричні елементи будуть лише для компонент  $Q_{yz}, Q_{zx}, Q_{xy}$ , оскільки компоненти  $Q_{x^2-y^2}, Q_{z^2}$  перетворюються по представленню  $E$ , яке ортогональне до  $F_2$ .

І нарешті, між рівнями  $F_2 \leftrightarrow F_2$  дозволені будь-які переходи крім тих, які визначаються представленням  $A_2$  (зокрема, всі дипольні і квадрупольні), оскільки  $F_2 \times F_2 = A_1 + E + F_1 + F_2$ .

Для діагональних по енергії матричних елементів у вищезгаданих розрахунках зміниться лише останній пункт: магнітний дипольний момент має нульові матричні елементи  $F_2 \leftrightarrow F_2$ , оскільки  $\{F_2 \times F_2\} = A_1 + E + F_2 \perp F_1$ .

Для знаходження правил відбору комбінаційного розсіяння врахуємо, що

$$[V^2] = A_1 + E + F_2,$$

а отже дозволені будь-які переходи між рівнями типів  $A_1$  і  $F_2$ .

## 2.5 Малі коливання

Класифікацію малих коливань проводимо на основі таблиці

|   |           |   |
|---|-----------|---|
| C | $\Gamma$  | $F_2 = V \times A_1$                          |
| H | $\Lambda$ | $A_1 + E + F_1 + 2F_2 = V \times (A_1 + F_2)$ |

Поступальний і обертальний рух описуються відповідно векторним  $F_2$  і аксіальним  $F_1$  представленнями. Віднімаючи їх, одержимо три коливні моди  $A_1 + E$  з участю лише атомів водню – для них нормальні координати співпадають з хвильовими функціями на базі  $\text{H}_p$ , а також шість коливніх мод  $2F_2$  змішаного типу, нормальні координати яких можна знайти лише розв'язувати відповідне секулярне рівняння. Чисельні розрахунки вказують на такий порядок коливніх мод:  $F_2, E, A_1, F_2$ .

Кількість незалежних компонент матриці силових постійних визначається представленням  $[(V^{3N})^2]$ , яке розкладається як  $9A_1 + \dots$ , тобто маємо 9 інваріантів з врахуванням лише симетрійних міркувань.

Відшукання симетризованих координат буде продемонстровано нижче на прикладі молекули  $\text{N}_4$ .

## 2.6 Хвильові функції

Безпосереднє обчислення хвильових функцій першим способом проводиться наступним чином. Атомні орбіталі  $\text{Cs}$  і  $\text{Cr}$  атому вуглецю самі по собі вже є базисними функціями представлень  $A_1$  і  $F_2$ , відповідно. Для атомних орбіталь  $\text{Ns}$  будуємо спочатку регулярне представлення групи  $T_d$  на орбіті точки [111] (атом номер 1 на рис. 1 чи 3). Вибрали  $c_{4i}[001]$  і  $\sigma_v[101]$  за твірні елементи групи, побудуємо їх представлення:

$$c_{4i}[001] = \begin{pmatrix} 0 & 0 & 0 & 1 \\ 0 & 0 & 1 & 0 \\ 1 & 0 & 0 & 0 \\ 0 & 1 & 0 & 0 \end{pmatrix}, \quad \sigma_v[101] = \begin{pmatrix} 0 & 0 & 0 & 1 \\ 0 & 1 & 0 & 0 \\ 0 & 0 & 1 & 0 \\ 1 & 0 & 0 & 0 \end{pmatrix}.$$

В результаті розкладу на незвідні одержимо:

$$\begin{pmatrix} S \\ P_x \\ P_y \\ P_z \end{pmatrix} = \frac{1}{2} \begin{pmatrix} 1 & 1 & 1 & 1 \\ 1 & -1 & 1 & -1 \\ 1 & -1 & -1 & 1 \\ 1 & 1 & -1 & -1 \end{pmatrix} \begin{pmatrix} s_1 \\ s_2 \\ s_3 \\ s_4 \end{pmatrix},$$

причому функції ненормовані, оскільки не враховане їх перекриття. В даній задачі можна й це зробити, оскільки матриця перекриття<sup>1</sup>

$$G = \begin{pmatrix} 1 & q & q & q \\ q & 1 & q & q \\ q & q & 1 & q \\ q & q & q & 1 \end{pmatrix},$$

де  $q = \langle s_1 | s_2 \rangle$  і  $1 = \langle s_1 | s_1 \rangle$ , дуже проста, а тому  $\langle S | S \rangle = 1 + 3q$ ,  $\langle P_x | P_x \rangle = 1 - q$ .

В даному випадку є й простіші способи одержання хвильової функції. Наприклад, знаючи, що  $\text{Ns}$  перетворюються так же як  $\text{Csp}^3$ , а шукані функції мають бути  $S$ - і  $P$ -типів, робимо обернене перетворення від  $sp^3$  до  $s + p^3$ .

<sup>1</sup>Матриця перекриття має елементи  $G_{ij} = \langle \phi_i | \phi_j \rangle$ . Умовою нормування функції  $\psi = \sum_i c_i \phi_i$  буде  $c^+ G c = 1$ .

Підсумовуючи, хвильова функція основного стану молекули метану в наближенні валентних електронів з точністю до нормування має дві невідомі константи. Хвильові функції молекулярних орбіталей можна виписати явно:

$$\psi_{A_1} = c_1 R_{20}^C(r) + c'_1 \sum_{i=1}^4 R_{10}^H(|\vec{r} - \vec{r}_i|), \quad \psi_{F_2x} = c_2 \frac{x}{r} R_{21}^C(r) + c'_2 \sum_{i=1}^4 (-1)^i R_{10}^H(|\vec{r} - \vec{r}_i|), \dots$$

причому незалежними константами варіювання є лише константи  $c_1$  і  $c_2$ .

### 3 Молекула N<sub>4</sub>

Слід зауважити, що молекула N<sub>4</sub> не є тетраедрично координованою, точніше взагалі не є координованою.

#### 3.1 Малі коливання

Аналогічно молекулі метану одержимо коливні моди  $A_1 + E + F_2$ . Про розташування частот важко щось сказати напевне крім загального принципу: чим більше нормальні координати направлені вздовж хімічних зв'язків, тим вища частота. В даному випадку найвищу частоту матиме "дихальна" повносиметрична мода  $A_1$ . Чисельні розрахунки дають такий порядок:  $E, F_2, A_1$ .

#### 3.2 Електронна структура

Тип зв'язку колективний ковалентний ненасичений. Колективний, бо не існує гібридизації трьох орбіталей під кутом  $\pi/3$ . Тому структура молекули визначається найбільш компактним симетричним розташуванням ядер.

Зауважимо, що молекула N<sub>4</sub> метастабільна по відношенню до молекули N<sub>2</sub> з парним ковалентним зв'язком, для фосфора ж навпаки. Це відображає загальну тенденцію в таблиці Менделєєва: легкі атоми мають чітко окреслені по енергії, з жорсткою взаємною орієнтацією в просторі, сильно зв'язані з ядром чотири валентні орбіталі, для яких симетрія і направленість (фактично, парних) зв'язків відіграє визначальну роль. Важкі атоми мають рихлі слабше зв'язані з ядром орбіталі, але їх більше як за рахунок появи  $d$ - і  $f$ -орбіталей (основний ефект), так і за рахунок домішування привалентних орбіталей (це знову ж таки переважно поляризаційні  $d$ - і  $f$ -орбіталі), які енергетично менше розділені від валентних, порівняно з легкими атомами. Тому для важків атомів симетрійні принципи втрачають актуальність, оскільки велика кількість слабо локалізованих у просторі електронів "розтікається" між позитивно зарядженими ядрами, утворюючи колективний ненаправлений зв'язок.

Перший спосіб:

|    |           |   |
|----|-----------|---|
| Ns | $\Lambda$ | $A_1 + F_2 = D^0 \times (A_1 + F_2)$            |
| Np | $\Lambda$ | $A_1 + E + F_1 + 2F_2 = D^1 \times (A_1 + F_2)$ |

Отже, маємо  $2A_1 + 3F_2$  орбіталі змішаного складу і  $E + F_1$  орбіталі з  $p$ -електронів. Оскільки є  $F_1$  орбіталль, то буде й рівень  $1F$ , а це тягне за собою нижчі рівні. Оскільки рівні  $1D$  і  $1F$  можуть бути не до кінця заповнені, то теоретично залишається мінімум 0, максимум  $A_1 + 2F_2$  орбіталі. З них можна утворити лише  $2S$  і  $2P$  рівні. Підсумовуючи маємо

|    |                          |
|----|--------------------------|
| 1S | $A_1$                    |
| 1P | $F_2$                    |
| 1D | $E + F_2$                |
| 1F | $A_1(?) + F_1 + F_2(??)$ |
| 2S | $A_1(?)$                 |
| 2P | $F_2(??)$                |

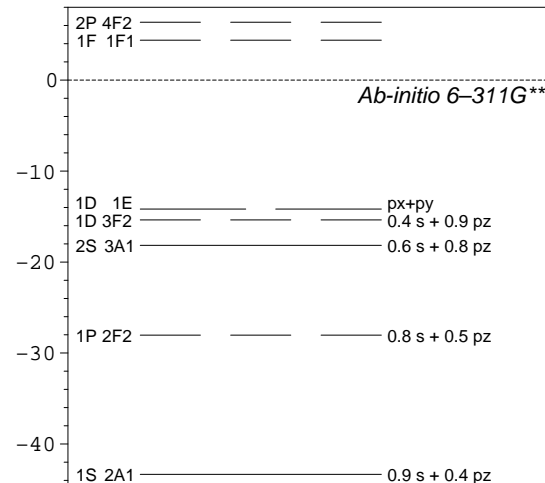


Рис. 5: Молекулярні орбіталі

Вибір орбіталі  $A_1$  на користь рівня  $2S A_1$  однозначний, вибір орбіталі  $F_2$  можна зробити лише описаним нижче другим способом (або чисельними розрахунками), який дає  $2P F_2$ . Порядок нижніх орбіталей:  $1S, 1P, 2S, 1D$ , також однозначний, порядок верхніх орбіталей  $1F F_1$  і  $2P$  може залежати від методу чисельних розрахунків. Власне, це малоістотно, оскільки 10 наявних електронів якраз заповнюють нижній ряд орбіталей. Залишається невизначенім лише порядок  $1D E$  і  $1D F_2$ , є два аргументи на користь нижньої трикратно виродженої орбіталі (чисельний розрахунок підтверджує це): по-перше, симетрія тетраедра більше відповідає орбіталі  $F_2$ , і по-друге, чим більше електронів, тим оптимальніше їх можна розташувати, особливо для колективного зв'язку.

Другий спосіб. Беремо гібридизовані орбіталі  $N(s + p_z)$ , де  $p_z$  направлені вздовж головних діагоналей кубу (про коефіцієнти ми нічого не можемо сказати, бо зв'язок колективний), і заповнюємо таблицю:

|            |           |                 |                                  |
|------------|-----------|-----------------|----------------------------------|
| $Nsp_z$    | $\Lambda$ | $2(A_1 + F_2)$  | $1S A_1, 1P F_2, 2S A_1, 2P F_2$ |
| $Np_x p_y$ | $\Lambda$ | $E + F_1 + F_2$ | $1D F_2, 1D E, 1F F_1$           |

Таким чином ми одержали склад орбіталей. Результат чисельного розрахунку вказаній на рис. 5.

### 3.3 Хвильові функції і симетризовані зміщення

Хвильові функції на базі атомних  $s$ -орбіталей ми вже розглядали для молекули метану. Тут обмежимося  $p$ -орбіталями і симетризованими координатами коливань, які перетворюються за представленням  $A_1 + E + F_1 + 2F_2$  (різниця між хвильовими функціями і симетризованими зміщеннями буде лише для кратного  $F_2$ ). Шукаємо генератори індукованого представлення за формулою  $T = R \times D^1$ , де матриці регулярного представлення  $R$  будуть такі ж як для молекули метану. Представлення  $D^1$  в декартових координатах має вигляд:

$$D^1[c_{4i}] = \begin{pmatrix} 0 & 1 & 0 \\ -1 & 0 & 0 \\ 0 & 0 & -1 \end{pmatrix}, \quad D^1[\sigma_v] = \begin{pmatrix} 0 & 0 & -1 \\ 0 & 1 & 0 \\ -1 & 0 & 0 \end{pmatrix},$$

що означає, наприклад, що атомна хвильова функція  $p_x \equiv (1 \ 0 \ 0)^T$  перетворенням  $c_{4i}$  переводиться в  $-p_y$ , а відбиттям  $\sigma_v$  в  $-p_z$  (тут  $p_x$  означає хвильову функцію, а не базис). Для зміщень атомів таблиця та ж сама, але замість значка  $p$  слід поставити значок  $u$ . Розклад на незвідні можна робити або за формулою проектування, або з евристичних міркувань. Виберемо останній спосіб.

Паралельно з декартовим зручно використовувати вже згадуваний вище симетричніший базис  $\{p_+ = Y'_{11}, p_- = Y'_{1-1}, p_z' = Y'_{10}\}$ , орієнтований в кожному атомі так, щоб вісь  $z'$  співпадала з віссю третього порядку, яка проходить через даний атом, і була напрямлена назовні. В компактній формі це можна записати так:

$$\begin{pmatrix} p_{1+} & p_{2+} & p_{3+} & p_{4+} \\ p_{1-} & p_{2-} & p_{3-} & p_{4-} \\ p_{1z'} & p_{2z'} & p_{3z'} & p_{4z'} \end{pmatrix} = \frac{1}{\sqrt{3}} \begin{pmatrix} e^{-i\pi/3} & e^{i\pi/3} & -1 \\ e^{-i2\pi/3} & e^{i2\pi/3} & 1 \\ 1 & 1 & 1 \end{pmatrix} \left[ \begin{pmatrix} 1 & -1 & 1 & -1 \\ 1 & -1 & -1 & 1 \\ 1 & 1 & -1 & -1 \end{pmatrix} \cdot \begin{pmatrix} p_{1x} & p_{2x} & p_{3x} & p_{4x} \\ p_{1y} & p_{2y} & p_{3y} & p_{4y} \\ p_{1z} & p_{2z} & p_{3z} & p_{4z} \end{pmatrix} \right],$$

де крапка означає поелементне множення матриць, фактично, матриця  $3 \times 4$  “підправляє” декартовий базис кожного атому.

В такому базисі функції  $p_z'$  ведуть себе як  $s$ -орбіталі при застосуванні елементів симетрії групи, тому безпосередньо за формулами для  $s$ -орбіталей одержимо власні функції представлень  $A_1$  і  $1F_2$  (останнє представлення кратне, тому спереду треба ставити номер). Можна також очікувати, що функції

$$\frac{1}{2} (p_{1\pm} + p_{2\pm} + p_{3\pm} + p_{4\pm})$$

будуть базисом представлення  $E$ , прямою перевіркою переконуємося, що це так. Можна вибрати і дійсний базис, якщо замінити

$$\begin{pmatrix} e^{-i\pi/3} & e^{i\pi/3} & -1 \\ e^{-i2\pi/3} & e^{i2\pi/3} & 1 \\ 1 & 1 & 1 \end{pmatrix} \text{ на } \begin{pmatrix} 1 & -1 & 0 \\ -1 & -1 & 2 \\ 1 & 1 & 1 \end{pmatrix}$$

(він ортогональний, але ненормований). Відповідно до записаного порядку він дає хвильові функції  $D_{x^2-y^2}$ ,  $D_{z^2}$  і  $S$ .

Для знаходження базису рівнів  $F_1$  і  $2F_2$  врахуємо, що представлення  $F_2$  і  $F_1$  описують відповідно зміщення і поворот молекули як цілого. Їх ненормовані базиси очевидні:

$$\vec{U}^{\text{tr}} = \sum_i \vec{u}_i, \quad \vec{U}^{\text{rot}} = \sum_i [\vec{r}_i \times \vec{u}_i].$$

Залишається лише вибрати правильні базиси у кратному представленні  $F_2$ . Для нормальних координат малих коливань правильні функції коливної моди  $F_2$  одержуються ортогоналізацією одержаних вище функцій  $1F_2$  по відношенню до  $\vec{U}^{\text{tr}}$ . В підсумку одержимо

$$\begin{pmatrix} 2\sqrt{3}q_{A_1} \\ 2\sqrt{2}q_{1E} \\ 4\sqrt{3}q_{2E} \\ 2\sqrt{2}q_{1F_2} \\ 2\sqrt{2}q_{2F_2} \\ 2\sqrt{2}q_{3F_2} \end{pmatrix} = \begin{pmatrix} 1 & 1 & 1 & -1 & -1 & 1 & 1 & -1 & -1 & -1 & 1 & -1 \\ 1 & -1 & 0 & -1 & 1 & 0 & 1 & 1 & 0 & -1 & -1 & 0 \\ -1 & -1 & 2 & 1 & 1 & 2 & -1 & 1 & -2 & 1 & -1 & -2 \\ 0 & 1 & 1 & 0 & 1 & -1 & 0 & -1 & -1 & 0 & -1 & 1 \\ 1 & 0 & 1 & 1 & 0 & -1 & -1 & 0 & 1 & -1 & 0 & -1 \\ 1 & 1 & 0 & -1 & -1 & 0 & -1 & 1 & 0 & 1 & -1 & 0 \end{pmatrix} \begin{pmatrix} u_{1x} \\ u_{1y} \\ u_{1z} \\ u_{2x} \\ \dots \\ u_{4z} \end{pmatrix}.$$

Графічно нормальні моди зображені на рис. 6.

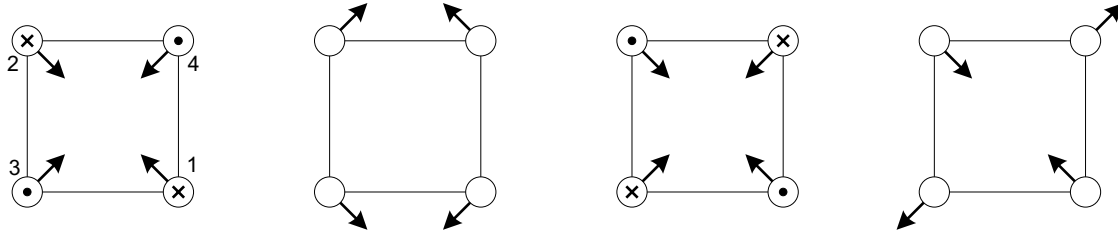


Рис. 6: Нормальні коливання  $A1$ ,  $E(1)$ ,  $E(2)$  і  $F_2(3)$ . Всюди один і той же вид зверху. Кружок з крапкою, хрестиком і білій означає відповідно  $u_z < 0$ ,  $u_z > 0$  і  $u_z = 0$ .

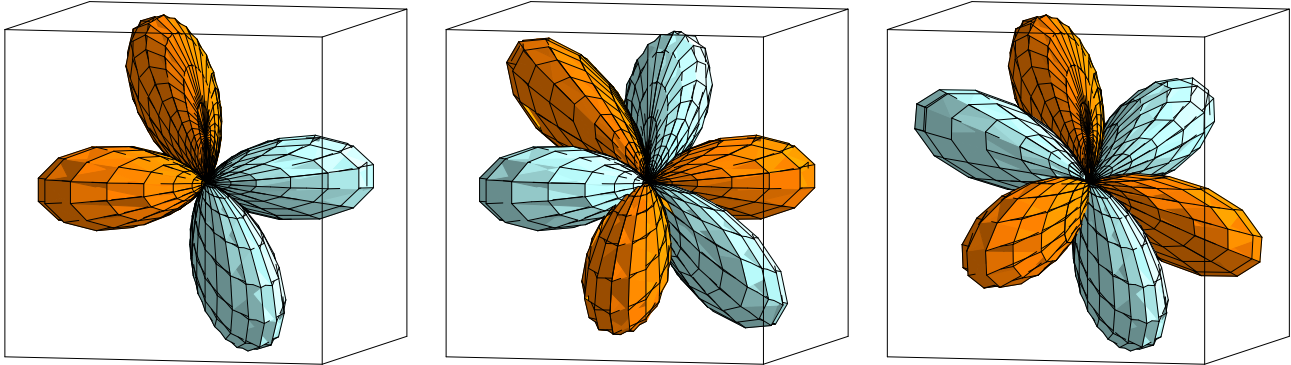


Рис. 7: Проекція базисних функцій представлень  $1E$ ,  $1F_1$  і  $2F_2$  на атомні орбіталі першого атому

Для хвильових функцій базис представлення  $2F_2$  одержується ортогоналізацією функцій  $\vec{U}^{\text{tr}}$  по відношенню до функції  $1F_2$ . В підсумку одержимо

$$\begin{pmatrix} 2\sqrt{3}S \\ 2\sqrt{2}D_{x^2-y^2} \\ 4\sqrt{3}D_{z^2} \\ 2\sqrt{2}D_{yz} \\ 2\sqrt{2}D_{zx} \\ 2\sqrt{2}D_{xy} \\ 2\sqrt{3}P_x \\ 2\sqrt{3}P_y \\ 2\sqrt{3}P_z \\ 4\sqrt{3}F_{x^3} \\ 4\sqrt{3}F_{y^3} \\ 4\sqrt{3}F_{z^3} \end{pmatrix} = \begin{pmatrix} 1 & 1 & 1 & -1 & -1 & 1 & 1 & -1 & -1 & -1 & 1 & -1 \\ 1 & -1 & 0 & -1 & 1 & 0 & 1 & 1 & 1 & 0 & -1 & -1 & 0 \\ -1 & -1 & 2 & 1 & 1 & 2 & -1 & 1 & -2 & 1 & -1 & -2 & -2 \\ 0 & -1 & 1 & 1 & 0 & -1 & -1 & 0 & -1 & 0 & 1 & 1 & 1 \\ 1 & 0 & -1 & 1 & 0 & 1 & -1 & 0 & -1 & -1 & 0 & 1 & 1 \\ -1 & 1 & 0 & 1 & -1 & 0 & 1 & 1 & 0 & 0 & -1 & -1 & 0 \\ 1 & 1 & 1 & 1 & 1 & -1 & 1 & -1 & -1 & 1 & -1 & 1 & 1 \\ 1 & 1 & 1 & 1 & 1 & -1 & -1 & 1 & 1 & -1 & 1 & -1 & -1 \\ 1 & 1 & 1 & -1 & -1 & 1 & -1 & 1 & 1 & 1 & -1 & 1 & 1 \\ 2 & -1 & -1 & 2 & -1 & 1 & 2 & 1 & 1 & 2 & 1 & -1 & -1 \\ -1 & 2 & -1 & -1 & 2 & 1 & 1 & 2 & -1 & 1 & 2 & 1 & 1 \\ -1 & -1 & 2 & 1 & 1 & 2 & 1 & -1 & 2 & -1 & 1 & 2 & 1 \end{pmatrix} \begin{pmatrix} p_{1x} \\ p_{1y} \\ p_{1z} \\ p_{2x} \\ p_{2y} \\ p_{2z} \\ p_{3x} \\ p_{3y} \\ p_{3z} \\ p_{4x} \\ p_{4y} \\ p_{4z} \end{pmatrix}$$

Атомні орбіталі, що формують базиси  $1E$ ,  $1F_1$  і  $2F_2$  показані на рис. 7. Базисні функції представлень  $1F_1$  і  $2F_2$  майже однакові, але перші орієнтовані пелюстками до сусідніх атомів, а другі чергуються з першими.

## 4 Молекула $C(CH_3)_4$

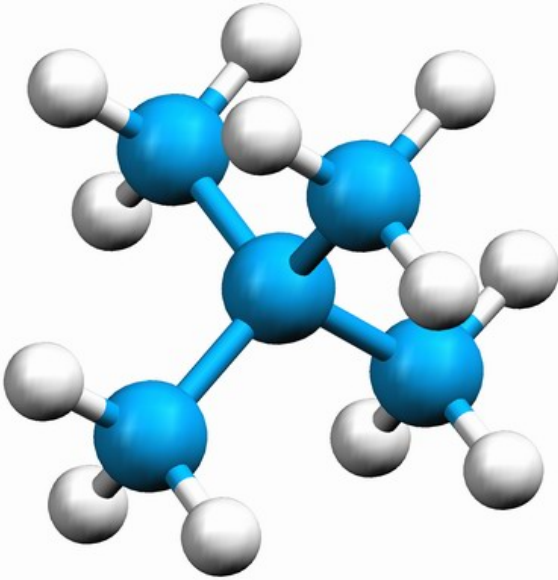


Рис. 8: Молекула  $C(CH_3)_4$

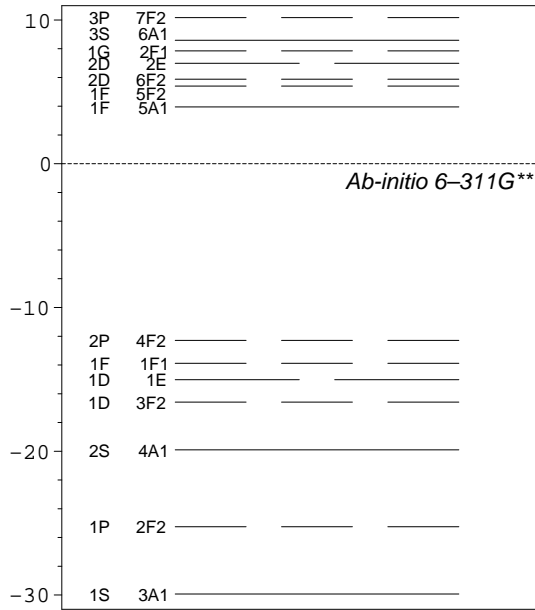


Рис. 9: Молекулярні орбіталі

Координати атомів елементарного фрагменту молекули такі:

$$C' = (0 \ 0 \ 0), \quad C = \frac{a}{\sqrt{3}} (1 \ 1 \ 1),$$

$$H = \frac{a}{\sqrt{3}} (1 \ 1 \ 1) + \frac{b}{\sqrt{3}} \left( \frac{1}{\sqrt{2}} \sin \beta - \cos \beta, \ \frac{1}{\sqrt{2}} \sin \beta - \cos \beta, \ -\sqrt{2} \sin \beta - \cos \beta \right),$$

де  $a = CC = 1.54$  Å,  $b = CH = 1.09$  Å,  $\beta = HCH = 111.2^\circ$ . Атоми водню лежать на орбітах  $\Lambda\Lambda'$ . Група симетрії  $T_d$ .

### 4.1 Електронна структура

Оскільки молекула складна, треба комбінувати різні підходи. Насамперед, прямолінійний розклад дає:

|       |                   |  |
|-------|-------------------|--|
| $C's$ | $\Gamma$          | $A_1 = D^0 \times A_1$                                     |
| $C'p$ | $\Gamma$          | $F_2 = D^1 \times A_1$                                     |
| $Cs$  | $\Lambda$         | $A_1 + F_2 = D^0 \times (A_1 + F_2)$                       |
| $Cp$  | $\Lambda$         | $A_1 + E + F_1 + 2F_2 = D^1 \times (A_1 + F_2)$            |
| $Hs$  | $\Lambda\Lambda'$ | $A_1 + E + F_1 + 2F_2 = D^0 \times (A_1 + E + F_1 + 2F_2)$ |

Первинний аналіз симетрії одержаних орбіталей такий:

|                     | $A_1$ | $E$ | $F_1$ | $2F_2$ |
|---------------------|-------|-----|-------|--------|
| $1S \ 2S \ 3S \ 4S$ |       |     |       |        |
| $1P \ 2P \ 3P$      | ?     |     |       | ?      |
| $1D \ 2D$           |       | ?   |       | ??     |
| $1F \ 2F$           | ?     |     | +     | +      |
| $1G$                | -     | ?   | ?     | ??     |
|                     | ??    | ?   | ?     | ?      |

Для аналізу складу орбіталей шукаємо молекулярні орбіталі радикала  $\text{CH}_3$ :

| $C_{3v}$ | $e$ | $2c_3$ | $3\sigma_v$ |            |
|----------|-----|--------|-------------|------------|
| $A_1$    | 1   | 1      | 1           | $S; P_z$   |
| $A_2$    | 1   | 1      | -1          | $D_{xy}$   |
| $E$      | 2   | -1     | 0           | $P_x, P_y$ |
| $C$      | 1   | 1      | 1           | $A_1$      |
| $H$      | 3   | 0      | 1           | $A_1 + E$  |

 $\implies$ 

|      |           |
|------|-----------|
| $Cs$ | $A_1$     |
| $Cp$ | $A_1 + E$ |
| $Hs$ | $A_1 + E$ |

Отже маємо  $3A_1(\text{C}sp_z + \text{H}s) + 2E(\text{C}pxp_y + \text{H}s)$ . Домножуючи на регулярне представлення  $A_1 + F_2$  і складаючи з орбіталями центрального атому  $A_1(\text{C}'s) + F_2(\text{C}'p)$ , одержимо

|   |                 |   |
|---|-----------------|---|
| 4 | $A_1$           | $\text{C}'s + \text{C}sp_z + \text{H}s$ |
| 4 | $F_2$           | $\text{C}'p + \text{C}sp_z + \text{H}s$ |
| 2 | $E + F_1 + F_2$ | $\text{C}pxp_y + \text{H}s$             |

Все це разом з результатами чисельного розрахунку дає рис. 9.